

Cerebellar Granule Cell Outgrowth on Schwann Cell Monolayers

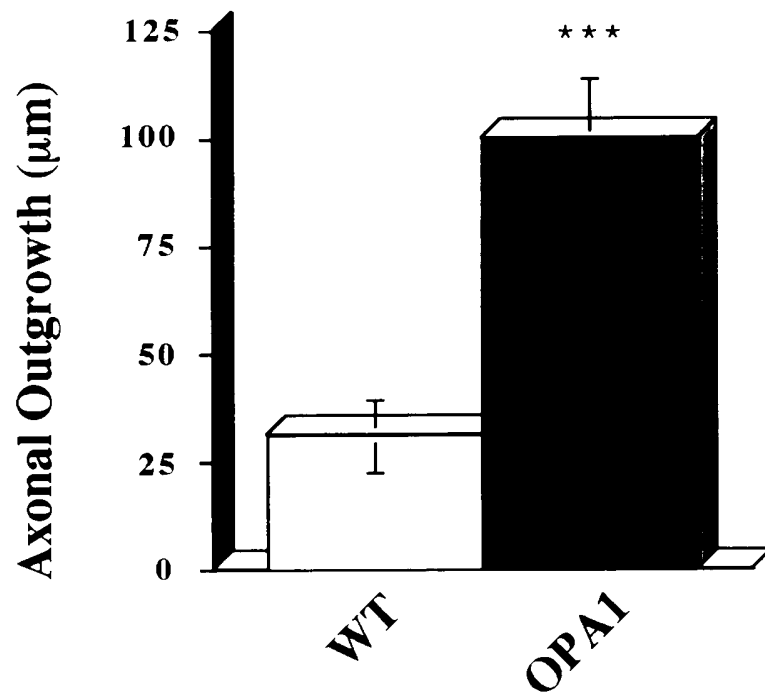


Figure 7B



Figure 8

Comparison of Wild-type and Δ SCIP Schwann Cell Protein Expression

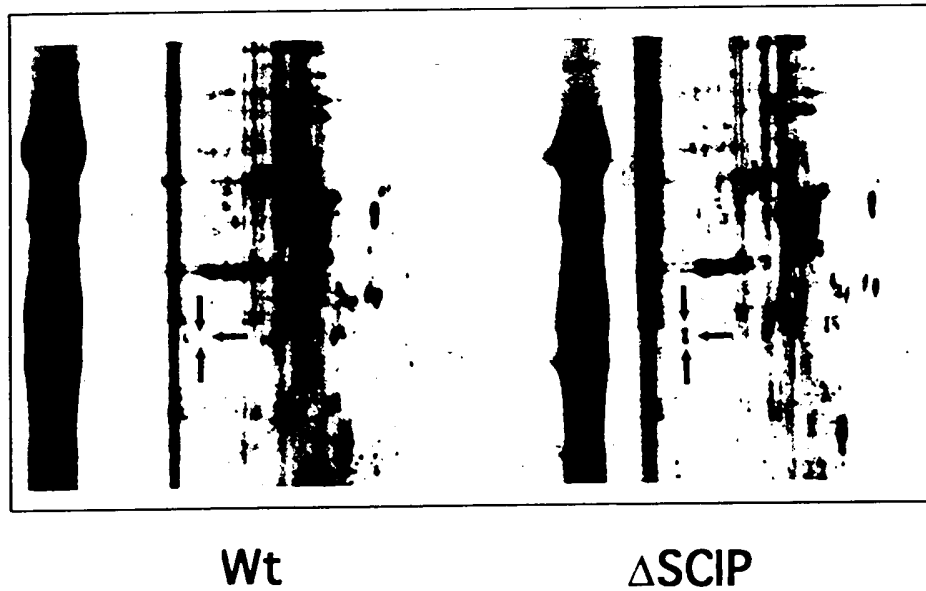


Figure 1

2A ttgagactggttgcataacagcagggtagctgaaagagccttctgggagttagtgaaacta 60
 2B ttgagactggttgcataacagcagggtagctgaaagagccttctgggagttagtgaaacta

2A ggtagattgtttgttcacataacgccaccatcaacttaaagtgaattgtctttgttata 120
 2B ggtagattgtttgttcacataacgccaccatcaacttaaagtgaattgtctttgttata

2A aatgaggctactatggacttaccctaaagatcttctgtacttctgtcttccataggacaa 180
 2B aatgaggctactatggacttaccctaaagatcttctgtacttctgtcttccataggacaa

2A atgataagtactacataacctcatctcttgggttattattgtagtcttgcattcatggta 240
 2B atgataagtactacataacctcatctcttgggttattattgtagtcttgcattcatggta

2A tgaatttaaaaaataataccaattatggaaatagtactaaaggcttgccgcacatgaaac 300
 2B tgaatttaaaaaataataccaattatggaaatagtactaaaggcttgccgcacatgaaac

2A attattttaattggtttaaaagtcctttataaagagtgtcatatggtttagataaaggaa 360
 2B attattttaattggtttaaaagtcctttataaagagtgtcatatggtttagataaaggaa

2A acatataactattgagttacaggggattttattaattataaaatgcaatcaatttaaatt 420
 2B acatataactattgagttacaggggattttattaattataaaatgcaatcaatttaaatt

2A acgtagggttaagactagtcccttgataagecccaagegaatttgcttcagattatta 480
 2B acgtagggttaagactagtcccttgataagecccaagegaatttgcttcagattatta

Figure 2

2A aaattagtgctgtaaatcaggggtgggcaattcacagcctttctgaactgactgaactaga 540

2B aaattagtgctgtaaatcaggggtgggcaattcacagcctttctgaactgactgaactaga

2A gcttgcaagtgaagtgttctgctgagactgagcaccttacagatattttctccagaagat 600

2B gcttgcaagtgaagtgttctgctgagactgagcaccttacagatattttctccagaagat

2A ggtgctgggtaataaaatcatcacaattaggggaatggtagtggtctctactgtggcaaa 660

2B ggtgctgggtaataaaatcatcacaattaggggaatggtagtggtctctactgtggcaaa

2A tgccaactgttggaattcactttatigtagaaaaacccaaactgagactcttaagttttg 720

2B tgccaactgttggaattcactttatigtagaaaaacccaaactgagactcttaagttttg

2A tttagcaatgtgtttctgggatgaacaaactactgtgtcactgtccaggtaggaaacaa 780

2B tttagcaatgtgtttctgggatgaacaaactactgtgtcactgtccaggtaggaaacaa

2A ttctttcaactgggttttcagcataaatgggaactgatgtagaaggcaggatttagccct 840

2B ttctttcaactgggttttcagcataaatgggaactgatgtagaaggcaggatttagccct

2A tctaggcaaaaagaaaagctcagttgggtttcacgagtgttctgtgcttatattcagtct 900

2B tctaggcaaaaagaaaagctcagttgggtttcacgagtgttctgtgcttatattcagtct

2A gtgcctacatgttctcatgcatgtctaacctgatttacctettacctgtaacctacctta 960

2B gtgcctacatgttctcatgcatgtctaacctgatttacctettacctgtaacctacctta

2A tcatgtggettttaattgacagtcactcagccatttctaagcagatatagtagtaccttt 1020

2B tcatgtggettttaattgacagtcactcagccatttctaagcagatatagtagtaccttt

2A cagaactcacattggcaagtgtaaaaagatgacttaaggtgaagtgaggacaaaatcaca 1080
 2B cagaactcacattggcaagtgtaaaaagatgacttaaggtgaagtgaggacaaaatcaca

2A ttetgcatactaacctannnnnnnctccctttaaggtgctaaacttgacacctcatgtcca 1140
 2B ttetgcatactaacctatTTTTTctccctttaaggtgctaaacttgacacctcatgtcca

2A ctcagtaacaagtattgggacgtagagcacagcctcactcagctctgaaaggtaatacag 1200
 2B ctcagtaacaagtattgggacgtagagcacagcctcactcagctctgaaaggtaatacag

2A cttgtgaggaagtgagccagcagtggcctttgcaattgtggatcttgagctctgctctca 1260
 2B cttgtgaggaagtgagccagcagtggcctttgcaattgtggatcttgagctctgctctca

2A gcagatttcaggtgtaaccatttgtaactgtactgaagggtgtgtcctcaagaagaaaagt 1320
 2B gcagatttcaggtgtaaccatttgtaactgtactgaagggtgtgtcctcaagaagaaaagt

2A gttcaaattaaaaaagctgctgccaagtacactgtgtggtcttctctttgaatcctagg 1380
 2B gttcaaattaaaaaagctgctgccaagtacactgtgtggtcttctctttgaatcctagg

2A gttctatccctcttcagagtcatgtttctggtgctgctactttaaaacacagctcacaag 1440
 2B gttctatccctcttcagagtcatgtttctggtgctgctactttaaaacacagctcacaag

2A aataactaacttgcataaatatggagaaaaactcaataggggtcaggagggttctggcagt 1500
 2B aataactaacttgcataaatatggagaaaaactcaataggggtcaggagggttctggcagt

Figure 2 cont.

2A gtgcagtgtgaaataatcctgagtccttgctgaacacaactgtaggcttgagttataaag 1560

2B gtgcagtgtgaaataatcctgagtccttgctgaacacaactgtaggcttgagttataaag

2A cacattccaaattttaataaaaagcatttactcaattattataaaacaacatatttaaaa 1620

2B cacattccaaattttaataaaaagcatttactcaattattataaaacaacatatttaaaa

2A agatgaaccacaccaaaggcatcaaaacacctttttataaattagataattctacctgt 1680

2B agatgaaccacaccaaaggcatcaaaacacctttttataaattagataattctacctgt

Figure 2 cont.

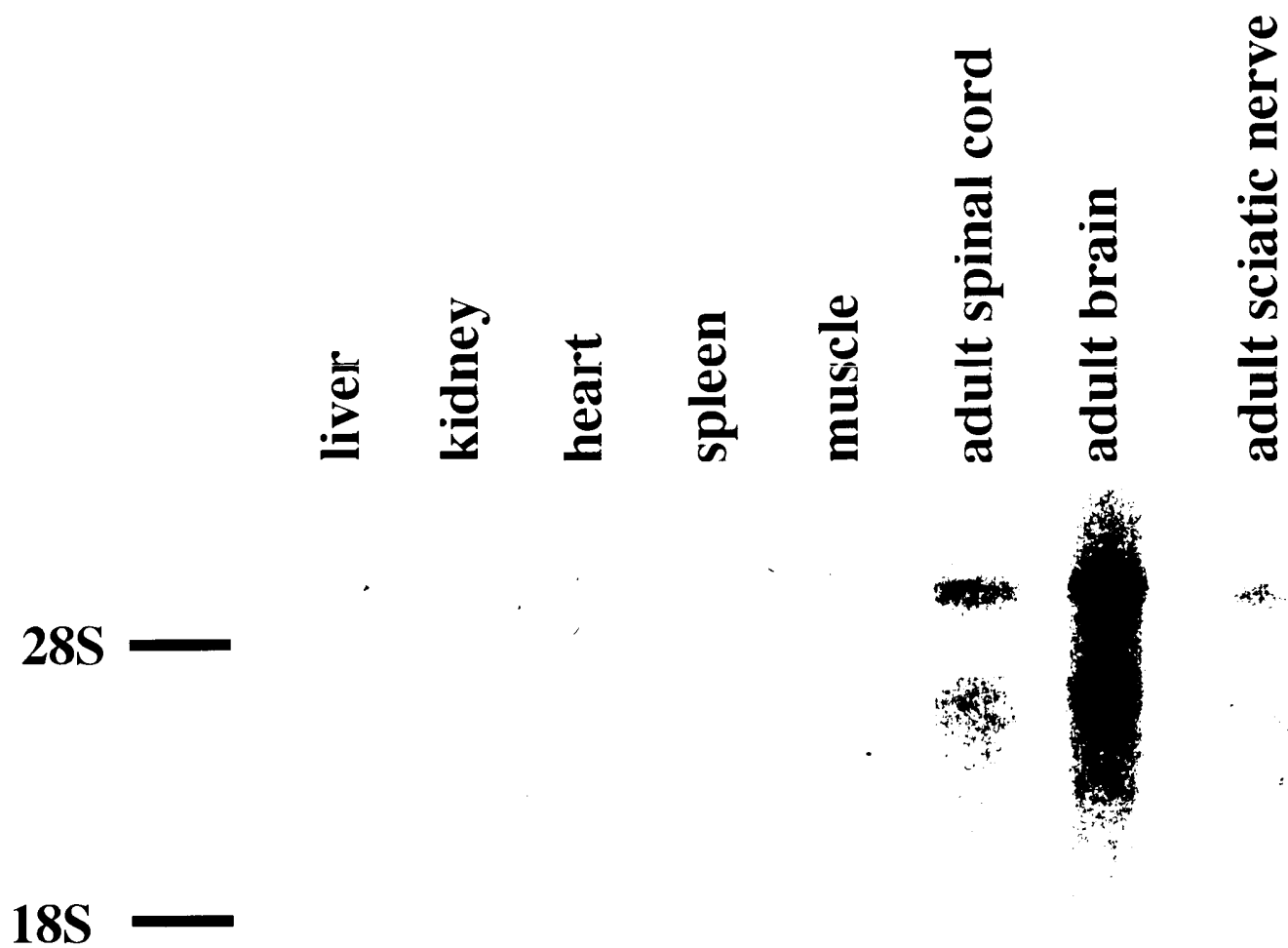


Figure 3

OPA1 Expression in the Developing CNS

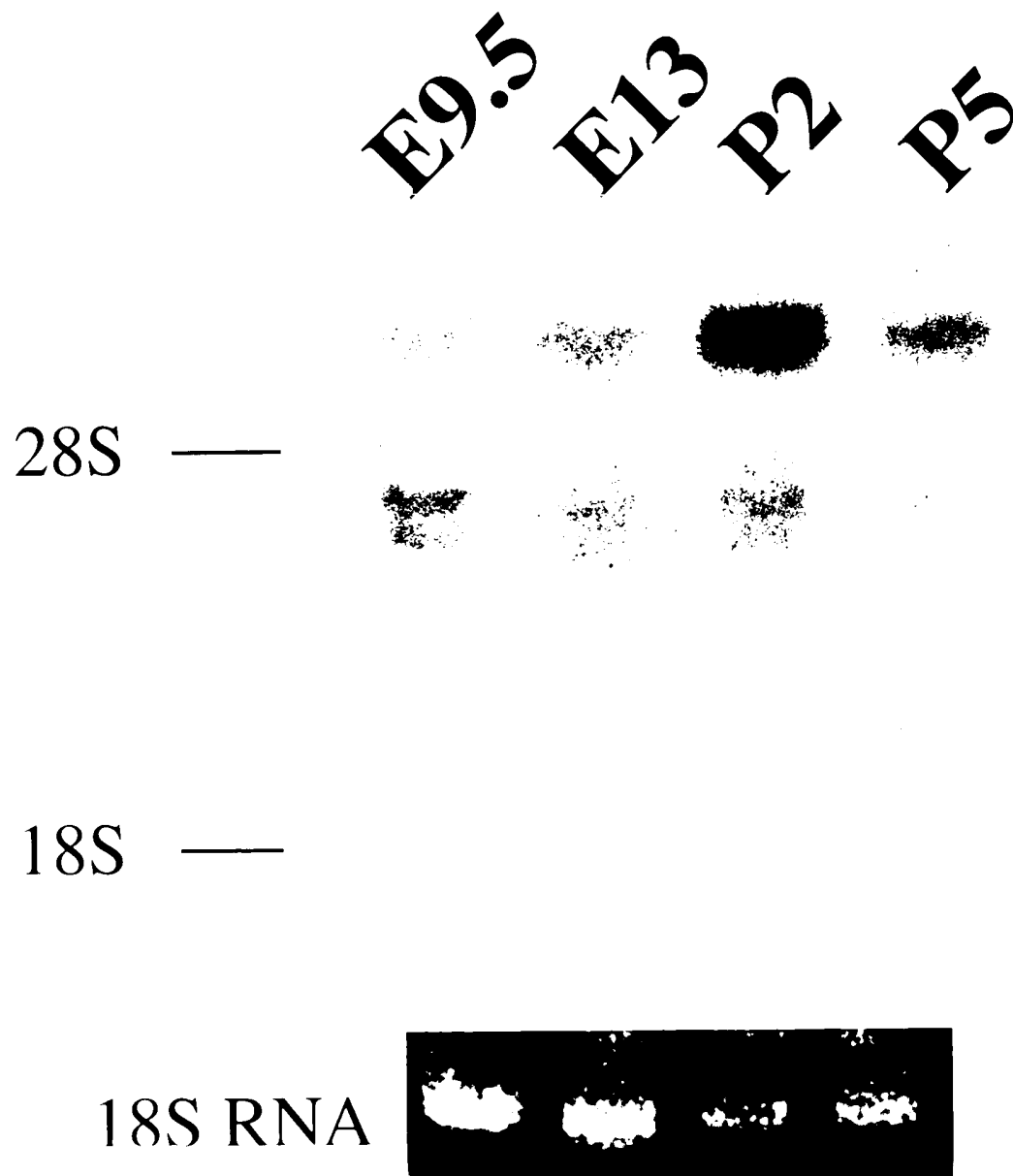


Figure 4

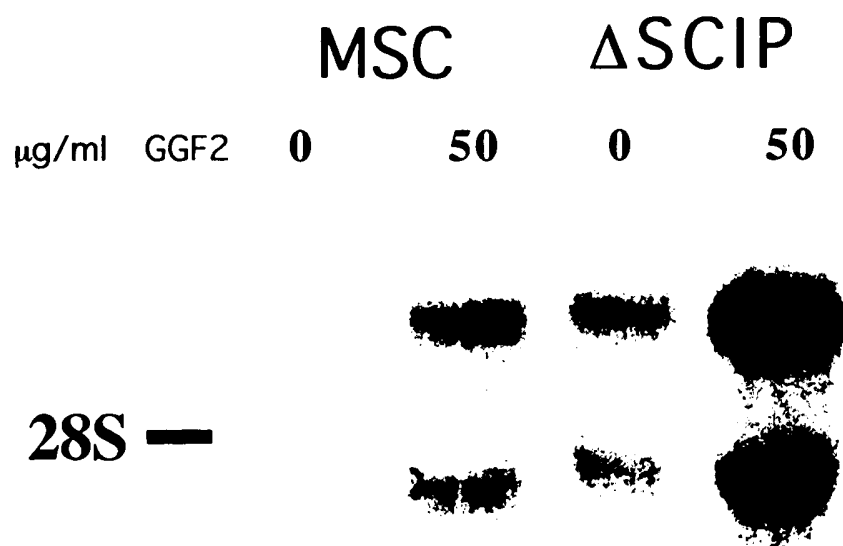


Figure 5A

MCS

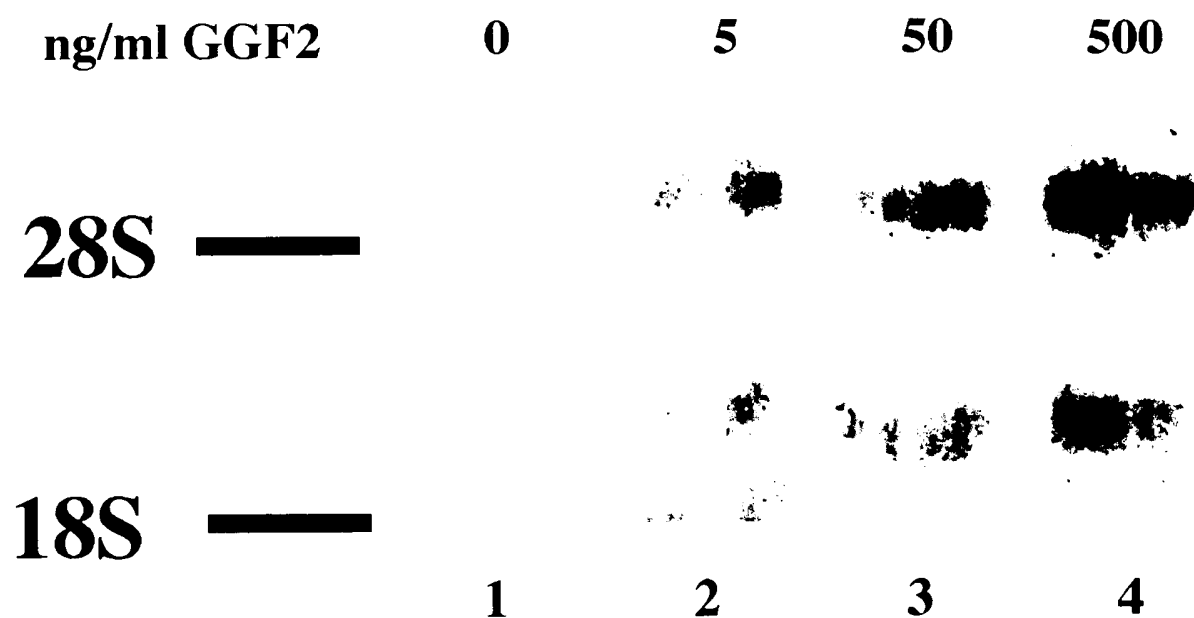


Figure 5B

OPA1 Induction

0 10 100 250 500 1000 ng/ml FK506

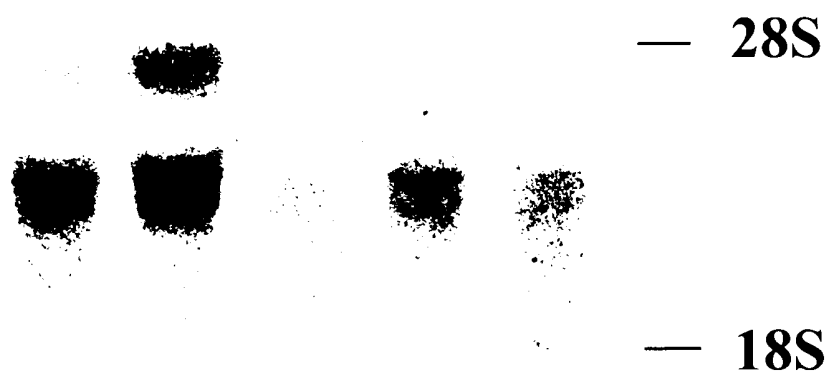


Figure 6

PC12 Cell Outgrowth on Schwann Cell Monolayers

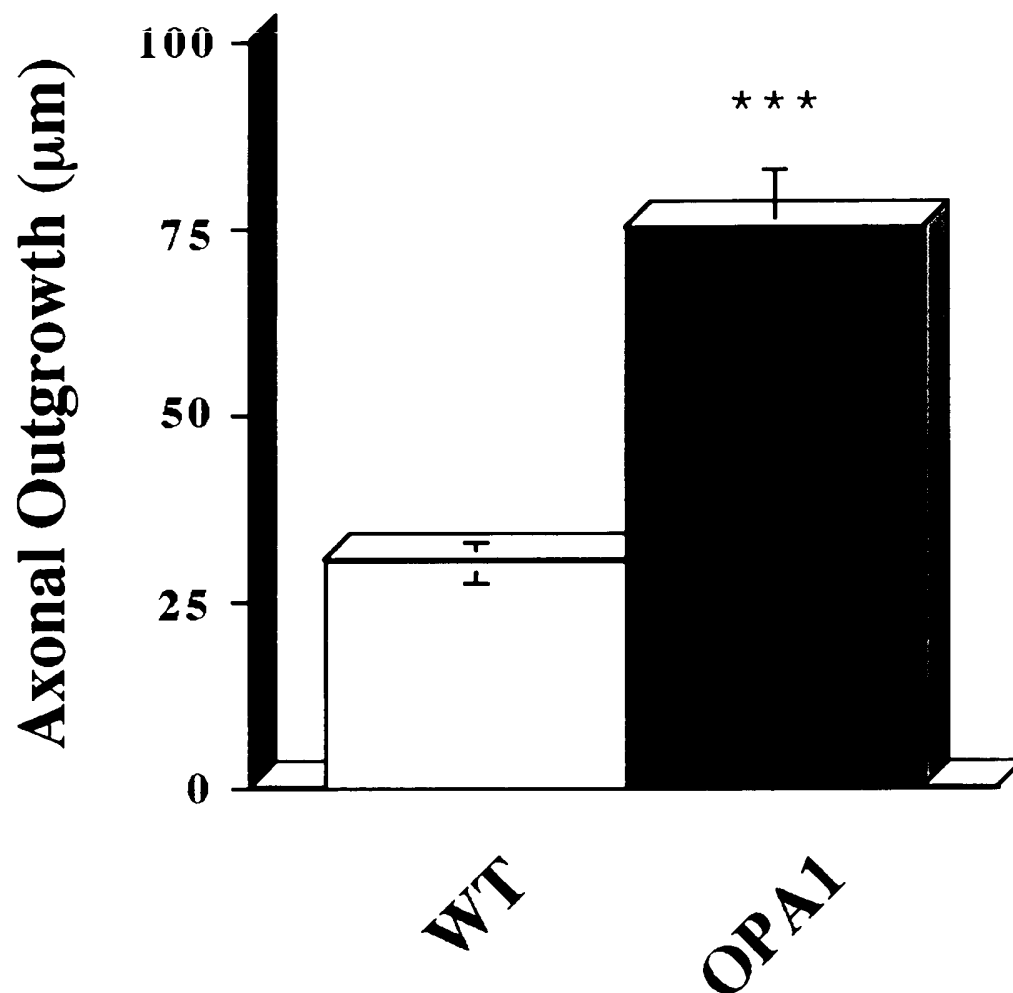


Figure 7A